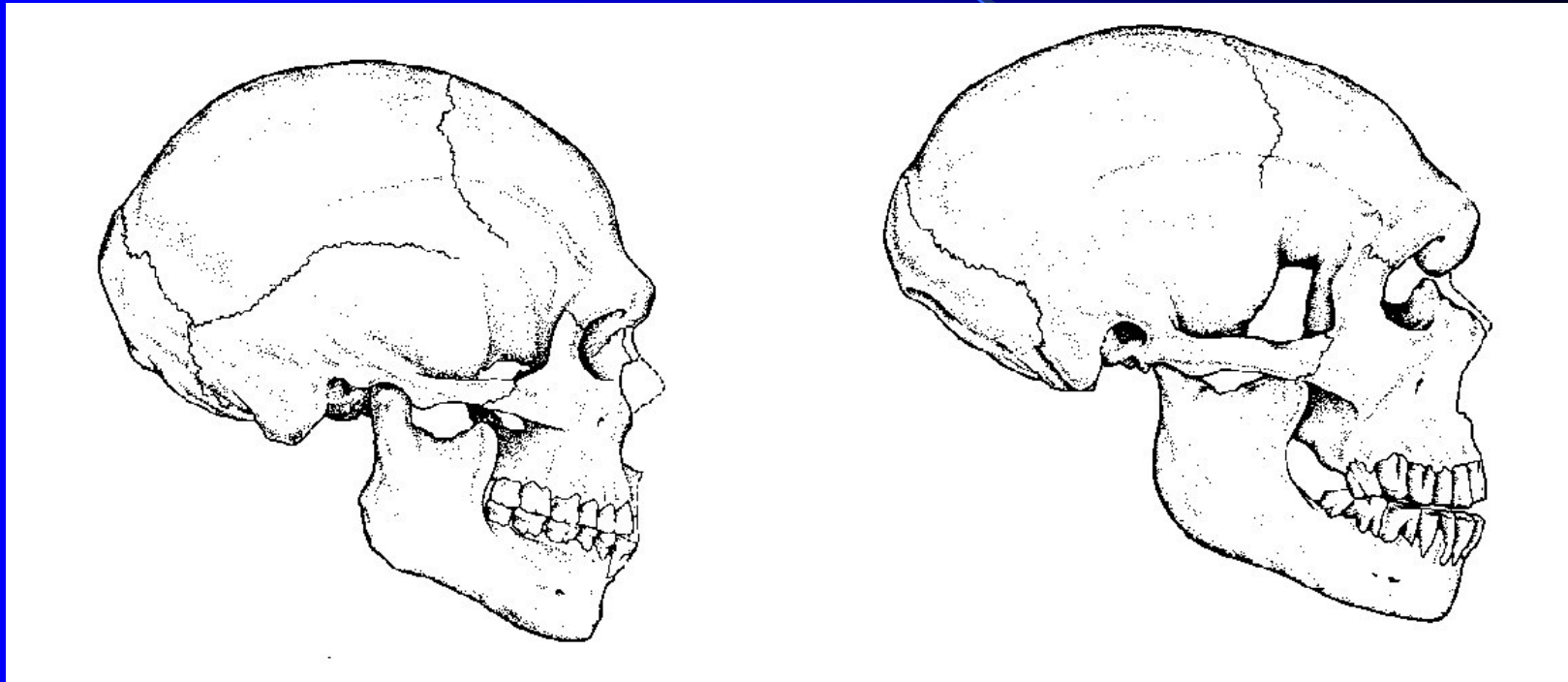


# Analyses Multivariées

The title 'Analyses Multivariées' is rendered in a large, golden, textured font that appears to have a 3D effect. The letters are filled with a fine, diagonal hatching pattern. Below the main text, a shadow of the same text is cast onto the surface below, creating a sense of depth. The background is a gradient of blue, transitioning from a darker shade at the top to a lighter shade at the bottom.

Statistiques Multidimensionnelles

# Fréquentes en anatomie



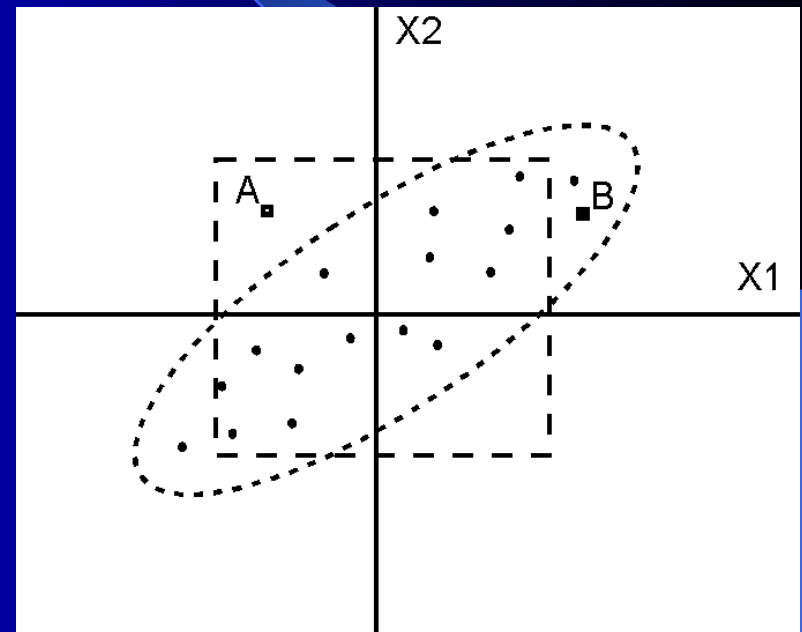
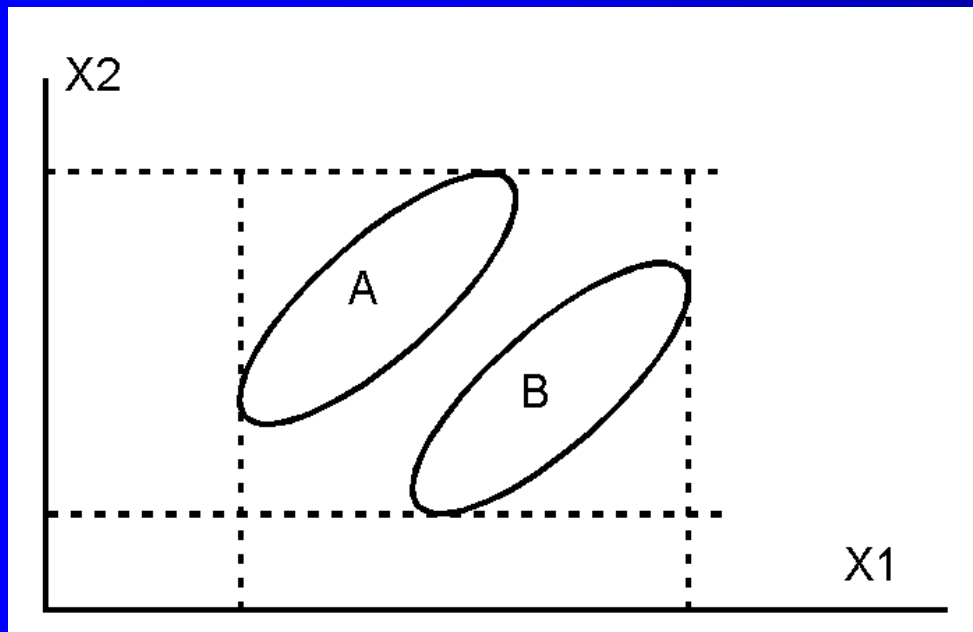
A cause de la complexité des structures

# Le multivariable est différent de la somme d'univariables

Plus on utilise de variables:

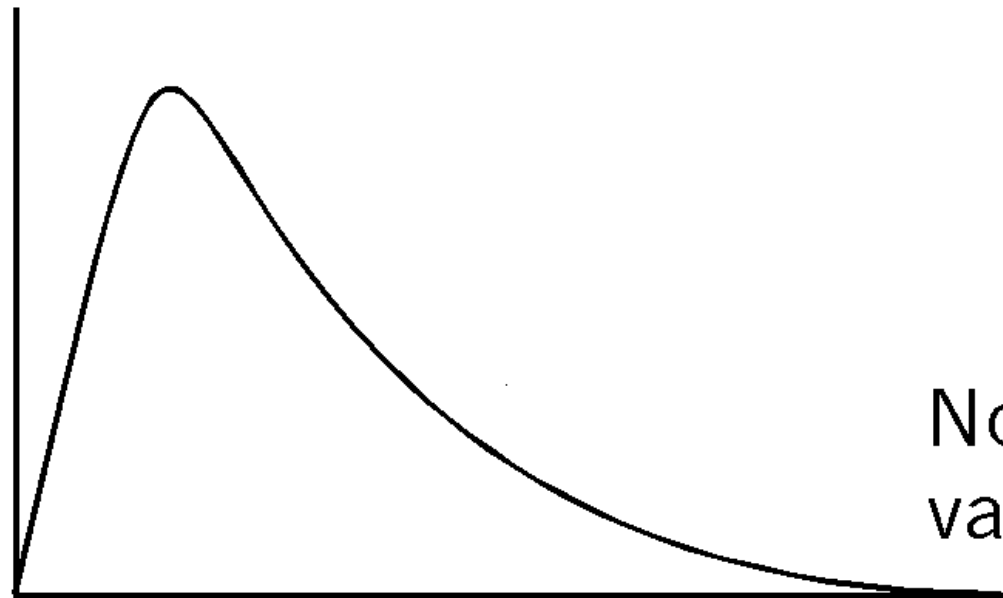
- Plus la covariance augmente
- Plus la puissance des tests diminue

# La Covariance



# La Significativité

Significativité



Nombre de  
variables

# La solution

Calculer des variables composites  
qui synthétisent le maximum  
d'information avec peu de variables

Analyse en Composantes Principales (ACP)

Décomposition en valeurs singulières

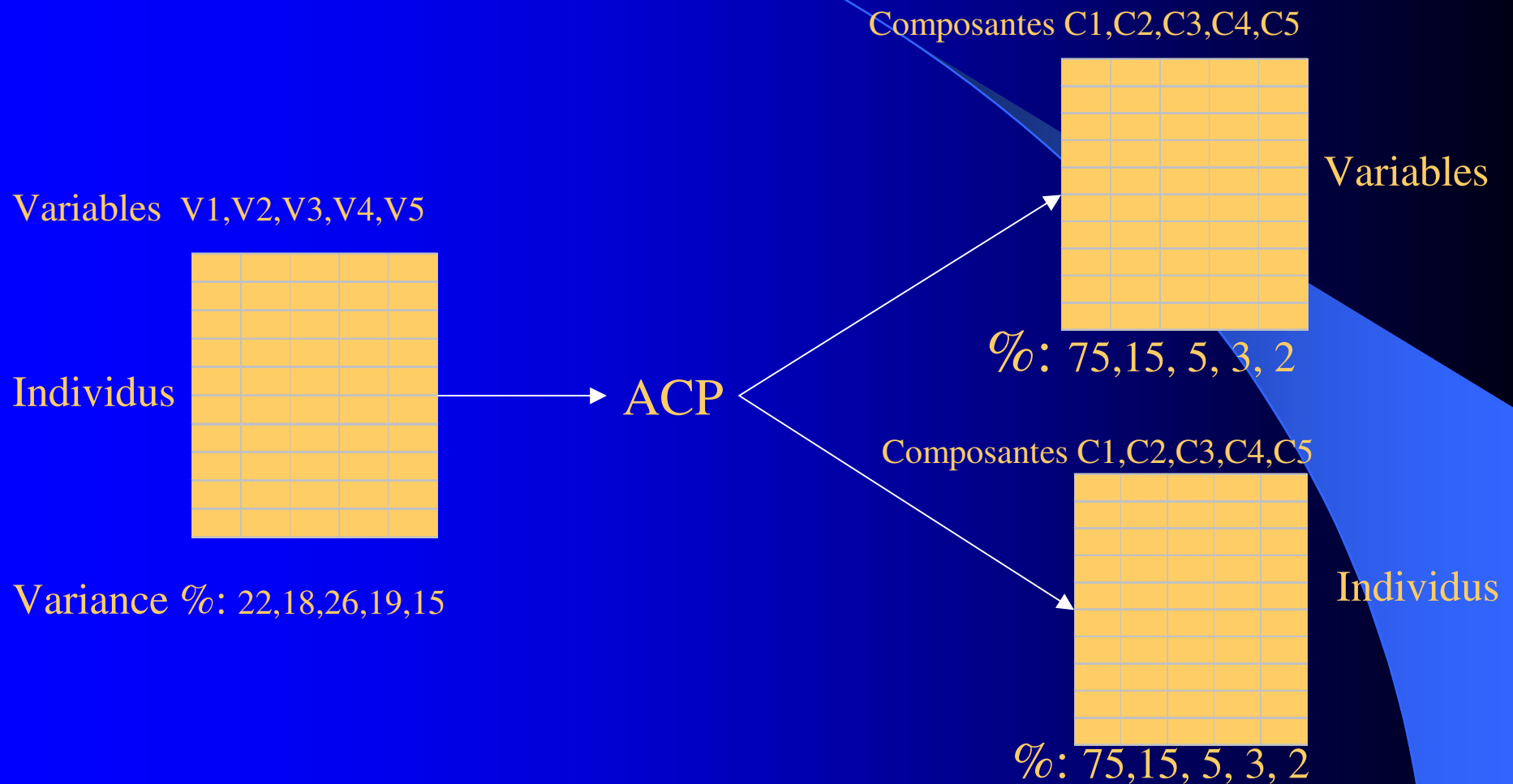
Analyse discriminante

Analyse en coordonnées Principales

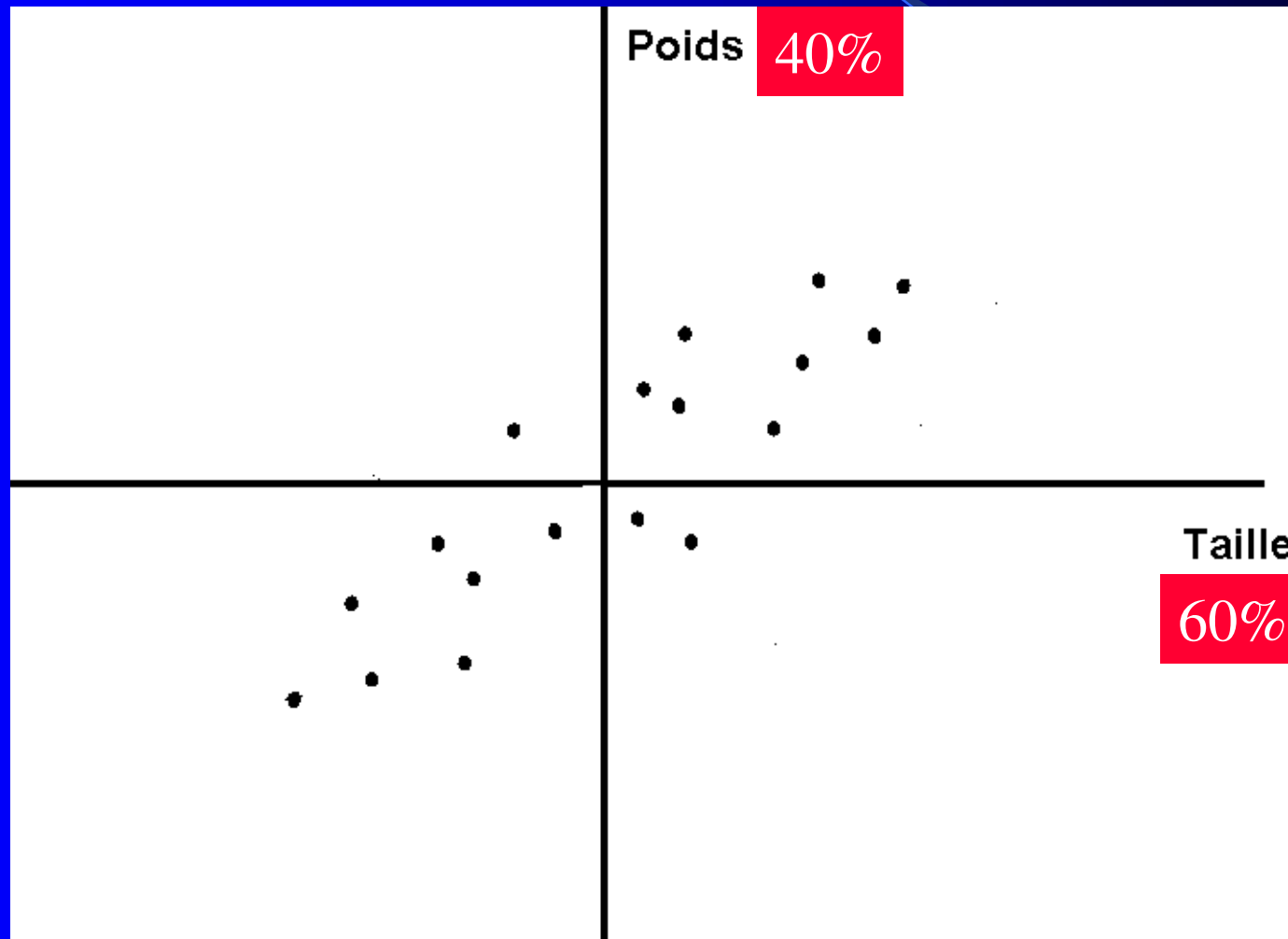
Analyse Factorielle des correspondances

.....

# Transformation des données

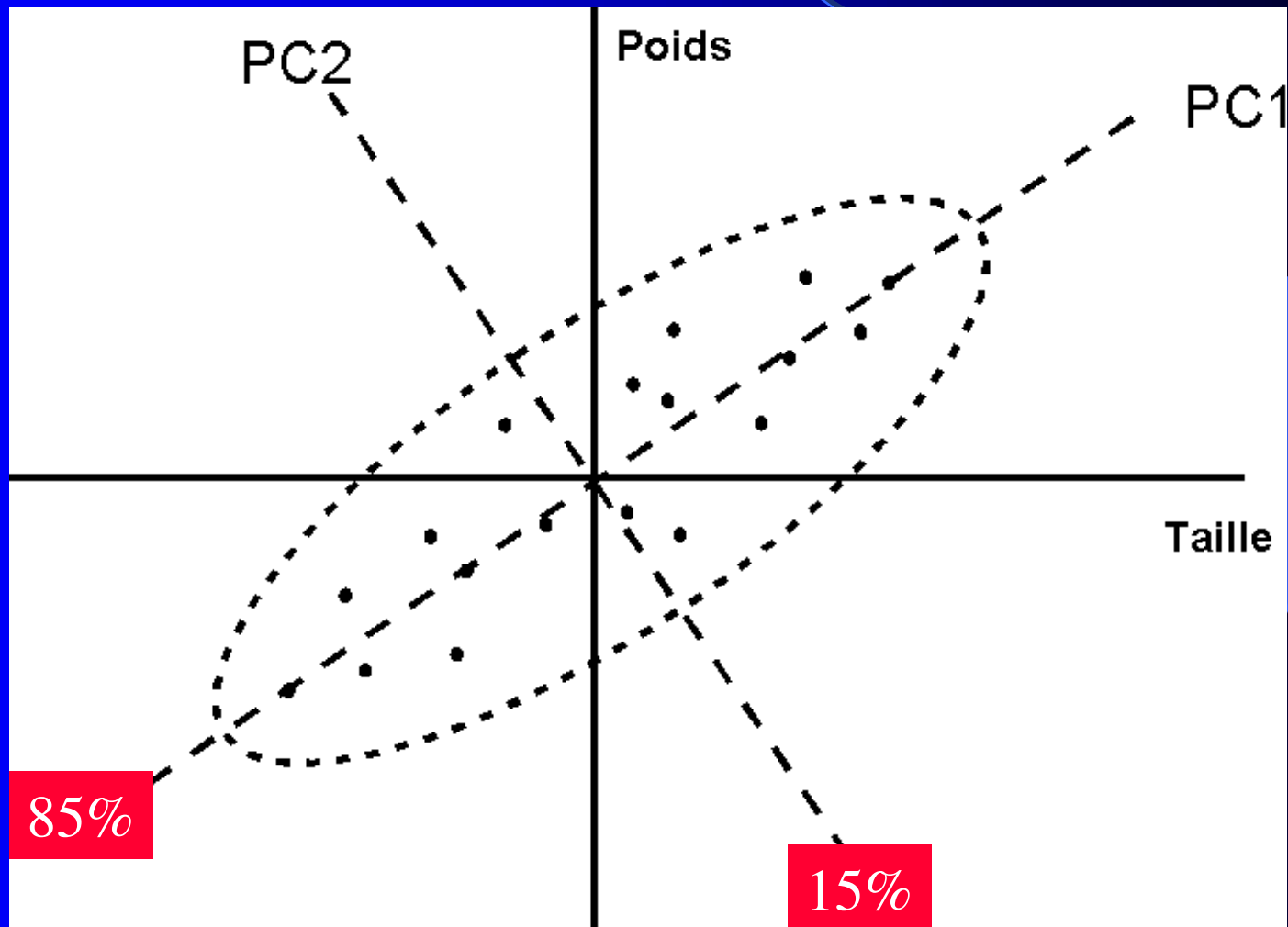


# Exemple de la taille et du poids





# Résultats de l'ACP



# Propriétés des composantes principales

1. Classées par ordre de variance décroissante
2. Indépendantes entre elles (orthogonalité)

## Des combinaisons linéaires

$$PC1 = a.Taille + b.Poids = 85\%$$

$$PC2 = c.Taille - d.Poids = 15\%$$

# Réification des composantes

PC1 = Robustesse = a.Taille + b.Poids

PC2 = Sveltezza = c.Taille - d.Poids

# Le rapport Signal / Bruit



Premières  
composantes

Variation structurée  
Variabilités individuelles

Composantes  
ultérieures

# Deux espaces complémentaires

1. L'espace des variables pour analyser les relations des variables entre elles.
2. L'espace des individus pour étudier les regroupements d'individus entre eux.

# Espace des variables

Correlations	X1	X2	X3	X4	X5	X6
X1 (longueur crâne)	1	0.584	0.615	0.601	0.57	0.6
X2 (largeur crâne)		1	0.576	0.53	0.526	0.555
X3 (humerus)			1	0.94	0.875	0.878
X4 (cubitus)				1	0.877	0.886
X5 (femur)					1	0.924
X6 (tibia)						1

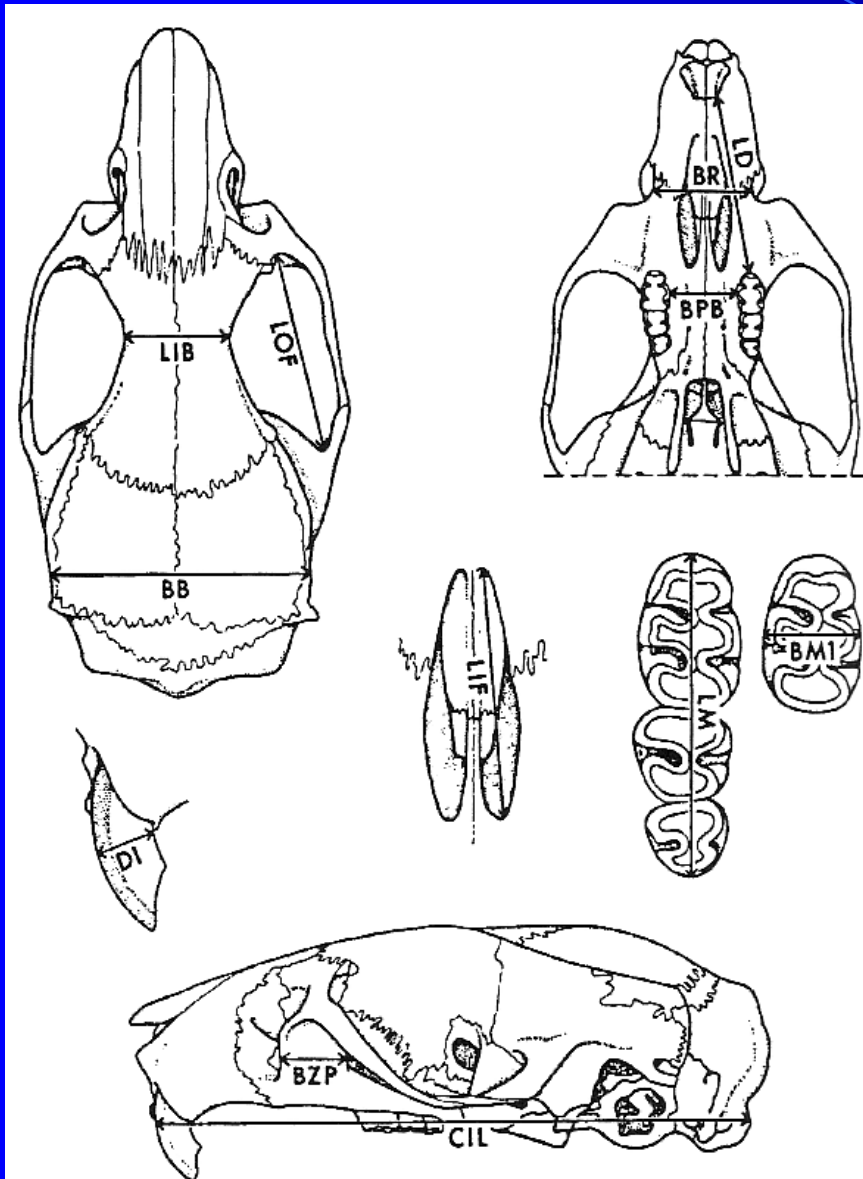
Analyse des données « White Leghorn Fowl » (S. Wight 1954)  
276 femelles X1=Longueur crâne, X2=largeur, X3= longueur humérus,  
X4= longueur cubitus, X5=longueur femur, X6=longueur tibia

# ACP sur matrice de corrélation

Poids des variables	PC1	PC2	PC3	PC4	PC5	PC6
Longueur crâne (X1)	0.35	0.53	0.76	-0.04	0.02	0.01
Largeur crâne (X2)	0.33	0.69	-0.64	-0.01	0.01	0.03
Humerus (X3)	0.44	-0.19	-0.05	0.53	0.18	0.67
Cubitus (X4)	0.44	-0.25	0.02	0.48	-0.15	-0.71
Femur (X5)	0.44	-0.28	-0.06	-0.49	0.65	-0.13
Tibia (X6)	0.44	-0.22	-0.05	-0.48	-0.69	0.17
Variance	4.58	0.71	0.41	0.17	0.08	0.05
Pourcentages	76%	12%	7%	3%	1%	1%



# Espace des individus



Etude du rongeur tropical  
ZYGODONTOMYS à  
partir d'échantillons issus  
de 15 localités

Leslie F. MARCUS †  
American Museum of  
Natural History

# La matrice de covariance

Variance-covariance matrix  $\times 100$

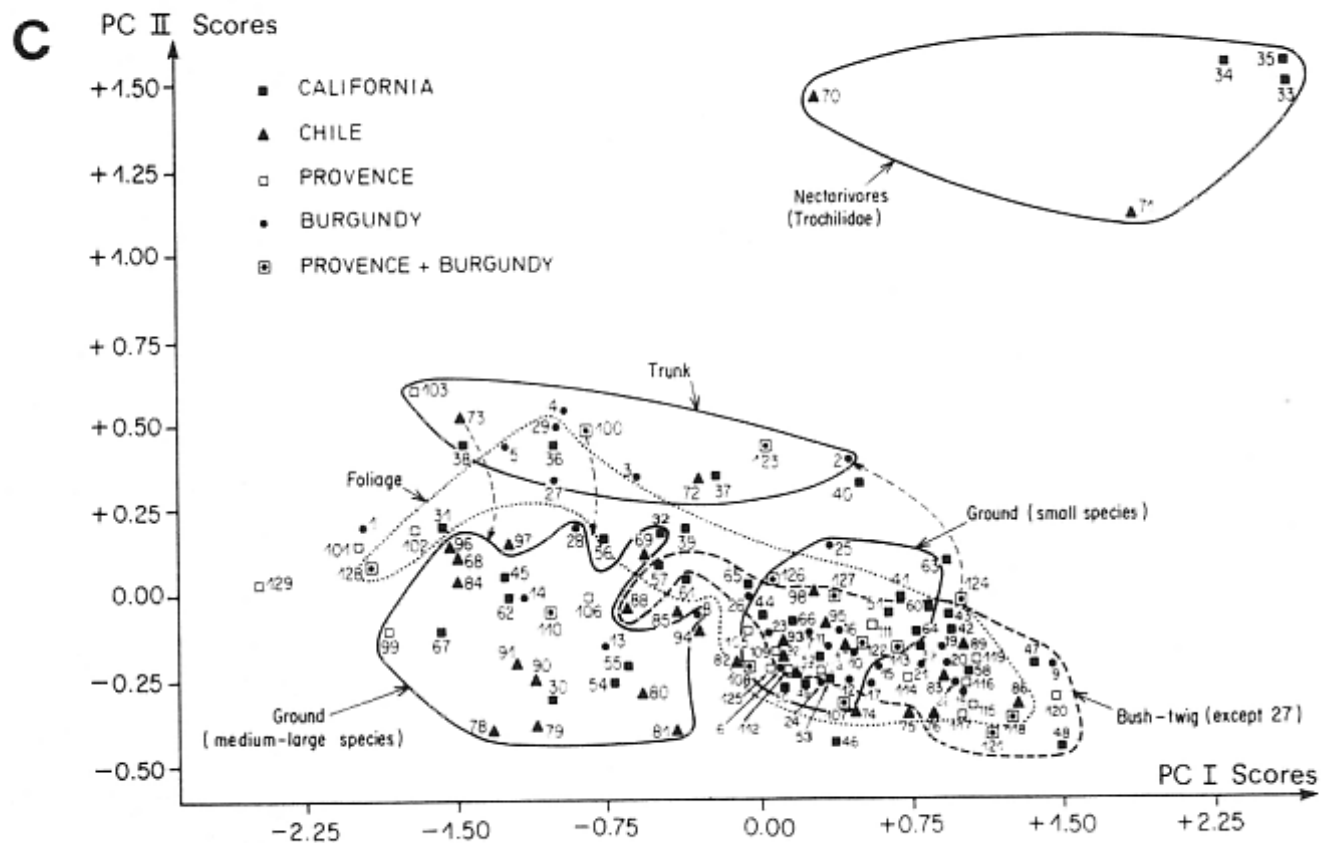
	CIL	LD	LM	BM1	LIF	BR	BPB	BZP	LIB	BB	DI	LOF
CIL	.3711	.4696	.0575	.0255	.3636	.4254	.4928	.4695	.2241	.1185	.4994	.3447
LD	.4696	.6464	.0292	.0217	.4979	.5381	.6486	.5877	.2795	.1599	.6016	.4360
LM	.0575	.0292	.1575	.0831	.0174	.0951	.0445	.1031	.0826	-.004	.1066	.0444
BM1	.0255	.0217	.0831	.1762	.0196	.0992	.0280	.0504	.0491	-.001	.0618	.0167
LIF	.3636	.4979	.0174	.0196	.5453	.4044	.4974	.4836	.2195	.1449	.4663	.3486
BR	.4254	.5381	.0951	.0992	.4044	.7536	.6705	.5822	.3343	.1396	.6263	.3995
BPB	.4928	.6486	.0445	.0280	.4974	.6705	.9362	.7023	.3226	.1832	.7267	.4462
BZP	.4695	.5877	.1031	.0504	.4836	.5822	.7023	.9718	.2893	.1298	.6402	.4282
LIB	.2241	.2795	.0826	.0491	.2195	.3343	.3226	.2893	.3093	.0800	.2869	.1952
BB	.1185	.1599	-.004	-.001	.1449	.1396	.1832	.1298	.0800	.1021	.1601	.1239
DI	.4994	.6016	.1066	.0618	.4663	.6263	.7267	.6402	.2869	.1601	.9293	.4712
LOF	.3447	.4360	.0444	.0167	.3486	.3995	.4462	.4282	.1952	.1239	.4712	.3686

# L'ACP

Table 3. Principal component analysis of logarithms of Dividive data.

PC	Eivenvalue	Cumulative%
1	0.456573	72.85
2	0.036284	78.64
3	0.033649	84.00
4	0.025552	88.08
5	0.023436	91.82
6	0.013521	93.98
7	0.012521	95.98
8	0.009079	97.42
9	0.006374	98.44
10	0.005768	99.36
11	0.003131	99.86
12	0.000833	100.00

# Ajout des données complémentaires



Groupements en fonction de l'habitat

# Matrice de covariance ou de corrélation?

$$\text{COV} = \frac{\sum_i (x_i - \bar{x})(y_i - \bar{y})}{n}$$

$$r_{xy} = \frac{\sum (x_i - \bar{x})(y_i - \bar{y})}{\sqrt{\sum (x_i - \bar{x})(x_i - \bar{x}) \sum (y_i - \bar{y})(y_i - \bar{y})}}$$

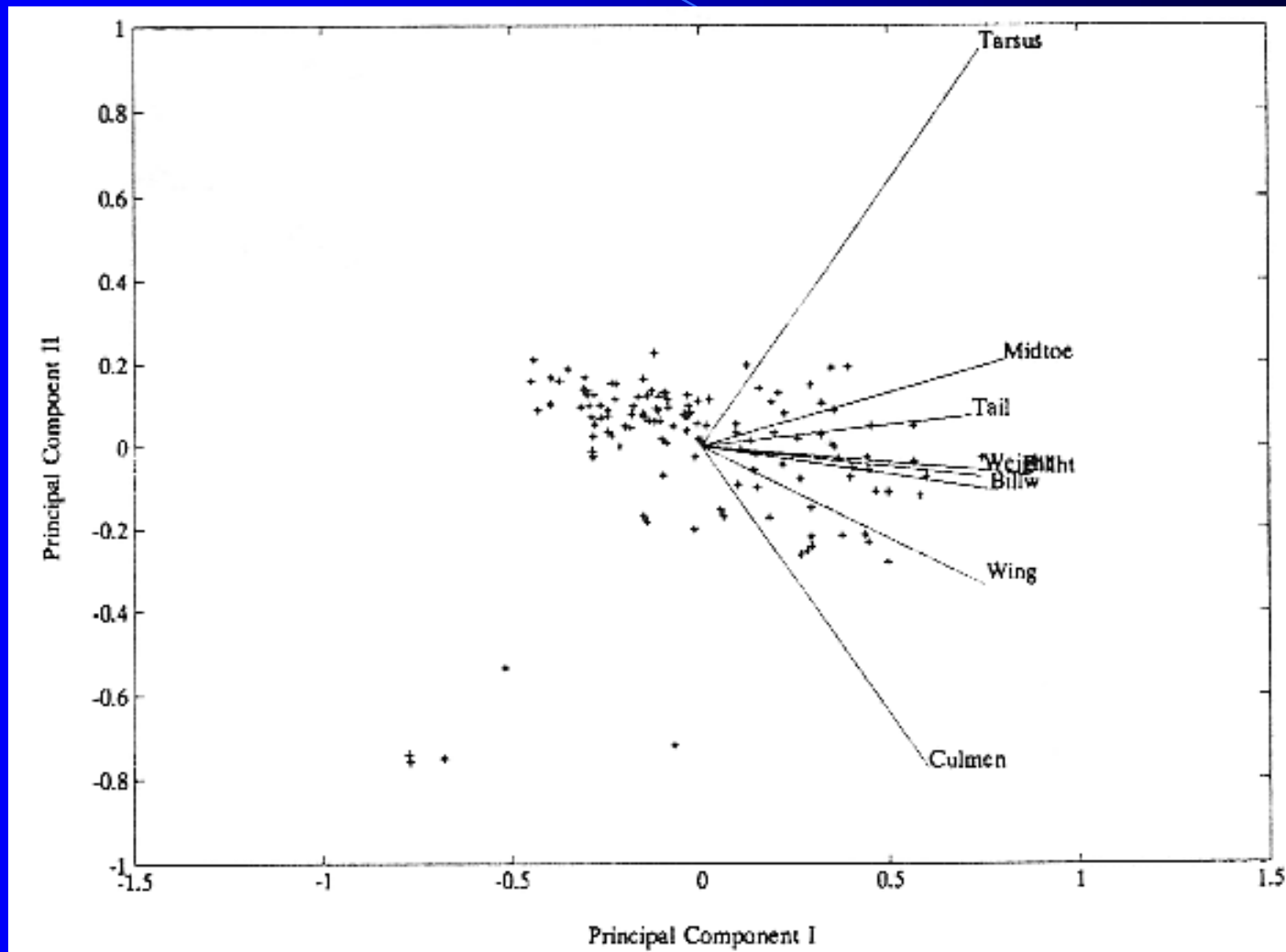
# En Pratique avec Scilab

La décomposition en valeurs singulières:

$$[U \ S \ V] = \text{svd}(X)$$

$U \cdot S$  = Position des individus  
 $V$  = coefficients des composantes

# Le Biplot



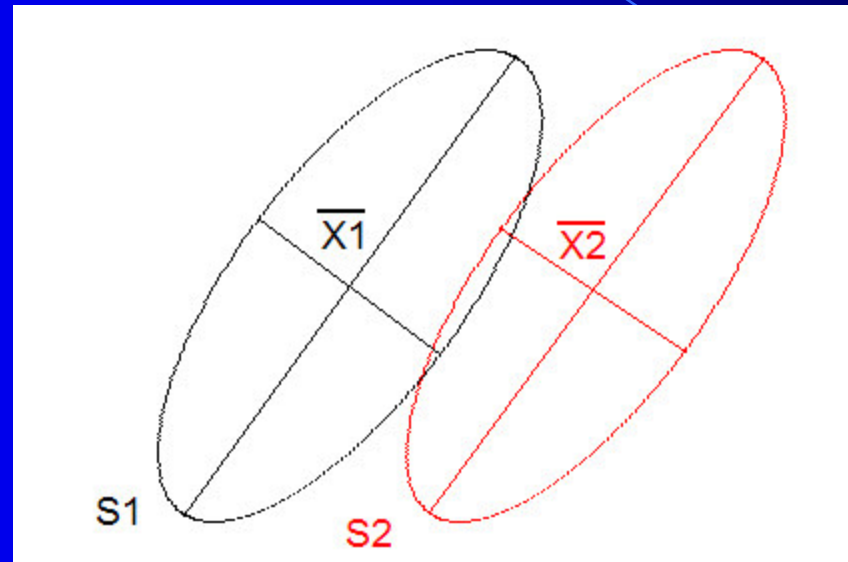
Données initiales: 8 mesures morphologiques enregistrées chez 126 espèces d'oiseaux méditerranéens

# Les tests statistiques en analyse multivariante

- Le  $T^2$
- Les tests de régression - discrimination
- Les tests de permutation



# Le $T^2$ : un test t multivariable



$$T^2 = \frac{n_1 \cdot n_2}{n_1 + n_2} \cdot D^2$$

$$D^2 = (\bar{X}_1 - \bar{X}_2) \cdot \text{inv}(\bar{S}) \cdot (\bar{X}_1 - \bar{X}_2)$$

Distance de Mahalanobis

## Du $T^2$ au $F$

$$F = \frac{N - g - p + 1}{(N - g) \cdot p} \cdot T^2$$

Avec  $N$  le nombre total d'observations dans les  $g$  groupes  
et  $p$  le nombre de variables

# Calcul du F avec une fonction discriminante (2 groupes)

Utilisation d' EXCEL:

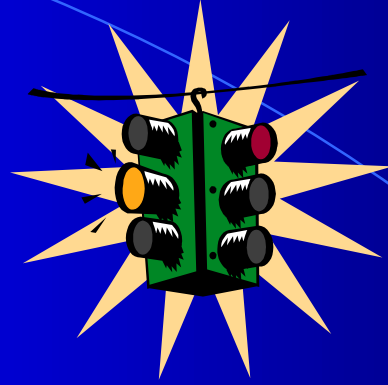
Calcul d'une régression multiple  
avec codage binaire (0,1)  
de la variable dépendante

# L'analyse discriminante

Une méthode à utiliser  
avec précautions

# Association avec une variable extérieure

Testée par régression multiple  
et donc un test F



L'analyse des données  
est différente  
des calculs de significativité